

العنوان: استخدام تقنيات الاستشعار عن بعد في استخراج وتحليل  
مؤلفات النباتات: محمية صباح الأحمد - الكويت دراسة  
حالة

المصدر: مجلة الدراسات الإنسانية والأدبية

الناشر: جامعة كفر الشيخ - كلية الآداب

المؤلف الرئيسي: أبو الحسن، محمد الرواوى دندراؤى

المجلد/العدد: ع 9, مج 1

محكمة: نعم

التاريخ الميلادي: 2015

الشهر: يناير

الصفحات: 433 - 454

رقم: 1043375

نوع المحتوى: بحوث ومقالات

اللغة: Arabic

قواعد المعلومات: AraBase, HumanIndex

مواضيع: المحميات الطبيعية، الغطاء النباتي، النباتات البرية، مؤشرات  
النباتات، الاستشعار عن بعد، محمية صباح الأحمد، الكويت

رابط: <http://search.mandumah.com/Record/1043375>

استخدام تقنيات الاستشعار عن بعد  
في استخراج وتحليل مؤشرات النباتات  
محمية صباح الأحمد - الكويت (دراسة حالة)

د. محمد الراوي دندراوي

حاصل على درجة الدكتوراه في الجغرافيا الطبيعية جامعة جنوب الوادي ٢٠١٤  
 محلل نظم معلومات جغرافية  
 شركة المتكاملة الدولية للخدمات البيئية دولة الكويت

## استخدام تقنيات الاستشعار عن بعد في استخراج وتحليل مؤشرات النباتات

مممية صباح الأحمد - الكويت (دراسة حالة)

د. محمد الرأوي دندراوي

حاصل على درجة الدكتوراه في الجغرافيا الطبيعية

جامعة جنوب الوادي ٢٠١٤

محلل نظم معلومات جغرافية

بشركة المتكاملة الدولية للخدمات البيئية دولة الكويت

[www.iies-kw.com](http://www.iies-kw.com)

[Elrawy\\_gis@yahoo.com](mailto:Elrawy_gis@yahoo.com)

### مقدمة:

شهدت محمية صباح الأحمد الطبيعية تغيرات جغرافية ملحوظة في مساحة الغطاء النباتي، وذلك لنشاط ظاهرة التعرية الريحية على المنطقة، ومن هنا جاءت أهمية البحث في الاعتماد على تقنية الاستشعار عن بعد في كشف ومراقبة تغير ومتابعة الغطاء النباتي في عامي (٢٠١٢-٢٠٠٠) باستخدام نوعان مختلفان من صور الأقمار الصناعية هما **Landsat, WorldView-2**.

تمثل هذه الدراسة محاولة لتقدير حالة النباتات الطبيعية المنتشرة في المحمية وذلك لتكون في خطوة لرصد حالة النباتات البرية في المحميات الطبيعية، باستخدام صور الأقمار الصناعية عالية الدقة من نوع **WorldView-2**، وتحديد وتقدير حالات التدهور في الغطاء النباتي بالاعتماد على ما يعرف بـ (مؤشر اختلاف النبات المعياري) واختصارها **(NDVI)** (Normalized Differences) وكذلك على مؤشرات النباتات الأخرى **(Vegetation Index)** (Indexes).

وقد شملت الدراسة أيضاً استخدام طريقة التفسير البصري في تحليل صور القمر الصناعي **Landsat**، والتي التقطت في ٢٠١٤/١/٢٠، ومرئيات القمر الصناعي **WorldView-2**، والتي التقطت في ٢٠١٢/١/١٢، والتي تتميز بقدرات طيفية مختلفة.

## أولاً: تحديد منطقة الدراسة وخصائصها العامة:

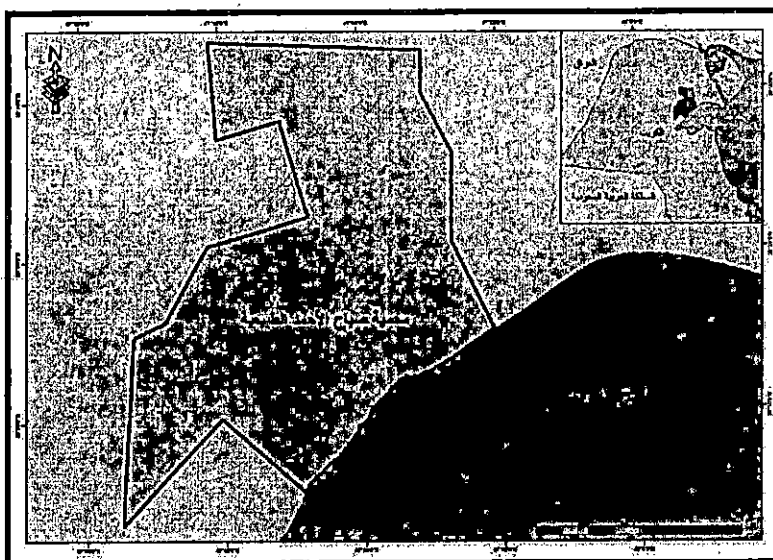
تقع محمية صباح الأحمد في الركن الشمالي الشرقي لدولة الكويت، وتحضر بين دائري عرض (٣٧°٢٥'ـ ٢٩°٤٣'ـ) شمالاً وخطي طول (٤١°٠٩'ـ ٤٧°٤٧') شرقاً، وتبلغ مساحتها (٣٨٣ كم٢)، ويحدها من الشرق والجنوب خليج الكويت، ويقع في منتصفها منخفض وادي أم الررم، وقد تم إعلان هذه المنطقة محمية طبيعية، نظراً لاحتواها على العديد من الموارد الطبيعية النباتية والحيوانية، وهي تكون منتزهاً طبيعياً لدولة الكويت. شكل (١)

إن دراسة تنوع واختلاف الغطاء النباتي بالمحمية كان مهمة جداً، وذلك لرصد تطورات حالة النباتات الطبيعية والحفاظ عليها داخل حدود المحمية من العوامل الجغرافية، نظراً لوجود درجات متفاوتة من التجمعات النباتية في بطون الأودية الجافة التي تنتشر بالمحمية، ولقد ساعد في هذه الدراسة توافر المرئيات الفضائية المختلفة التي تغطي منطقة الدراسة.

وقد تأثرت نباتات المنطقة بالعوامل الطبيعية والبشرية، حيث تؤثر في آلية تعاقب النباتات وتماثلها للنمو في كل من النظمتين البيئتين (الصحراوي، والساخلي) وقد تم التعرف على ١٤٧ نوعاً من النباتات في المحمية منها (٦٨%) نباتات حولية تزدهر في فصل الربيع والباقي (٣٢%) نباتات دائمة الخضر كما تنمو في المحمية أنواع نادرة من النباتات مثل الرخامة، العضرس، الكرات، الحلفا، الدحريج وهي مسميات محلية. (عمر وأخرون، ٢٠٠٨، ص ١٣١-١٣٥)

أما تربة محمية صباح الأحمد فإنها تحتوي في مركبها بشكل عام على أكثر من ٩٠% من الرمال والتربة التحتية تحتوي على الكلس، أو على طبقة طينية كلسية مع قليل من السيليكا، ويختلف عمق التربة ما بين ٢٥ سنتيمتراً إلى ٩٠ سنتيمتراً وتتراوح الملوحة ما بين ٠.٢٠ - ٠.١٣% إلا أن معظم المنطقة تعد قليلة الملوحة حيث وصلت قيمة درجة التوصيل الكهربائي ( $E_c = 0.4 \text{ ds/cm}$ ) باستثناء حزام ضيق متصل عرضه كيلومتر واحداً على طول الساحل من الناحية الغربية، وباستثناء

حزام آخر عرضه حوالي ٢ كيلومتر على طول الساحل من الناحية الشرقية حيث تتأثر قليلاً بالملوحة ( $Ec = 4.8 \text{ ds/cm}$ ) (عمر وأخرون، ٢٠٠٨، ص ١١١)



شكل (١) موقع منطقة الدراسة

### ثانياً: قيمة الاستشعار عن بعد والأقمار الصناعية في الدراسة:

تعتبر وسائل وتقنيات الاستشعار عن بعد أداة فعالة وقوية في دراسة ومراقبة مشكلة تدهور الأراضي الصحراوية في المناطق الجافة وشبه الجافة، لما لها من مميزات وقدرات في مراقبة ورصد العديد من الفواهر في أماكن واسعة وأوقات وفصول مختلفة من السنة، وذلك لدققتها الزمنية والمكانية والطيفية العالية، حيث تتميز بتنوع أطوالها الموجية (Multispectral Resolution) ودققتها المكانية العالية في تمييز الظاهرات الأرضية (Spatial Resolution).

وتهدف الدراسة الحالية إلى محاولة الكشف عن إمكانية الاستفادة من تقنيات الاستشعار عن بعد بوسائلها المختلفة في رصد ومراقبة حالة النباتات الطبيعية داخل حيز محميات الطبيعة، وذلك بالاستفادة منها لحساب قيم مؤشر اختلاف النبات المعياري (Normalized Differences Vegetation Index - NDVI) وغيرها من مؤشرات النباتات كأحد مجالات الجغرافيا الطبيعية في دراسة الغطاء النباتي،

بالاعتماد على صور الأقمار الصناعية في رسم خرائط لمساحات النباتات الطبيعية وانتشارها والتغيرات التي ظهرت عليها والكشف عن المناطق المتدهورة لغرض تطويرها وتحسينها وإدارتها في النهاية.

الاستشعار عن بعد هو علم دراسة الظواهر والظواهر الأرضية من بعد دون الاتصال المباشر معها، سواء كان من الطائرات داخل الغلاف الجوي أو الأقمار الصناعية خارج الغلاف الجوي، وذلك عن طريق دراسة وتسجيل قيم الأشعة أو الطاقة الكهرومغناطيسية التي تتعكس عن هذا الهدف أو الظاهرة الأرضية والتي تختلف في قيمها الانعكاسية.

يفيد علم الاستشعار عن بعد في إظهار ظاهرات لا يمكن أن تراها عين الإنسان المجردة، حيث يمكن من خلاله التنبؤ بالتغييرات المستقبلية، كالدراسات الخاصة بتقدير حالة النبات الصحية، مما يظهر النباتات التي قد تتعرض للإصابة بالأمراض قبل أن تلاحظه عين الإنسان، مما يساعد على مواجهتها قبل انتشارها.

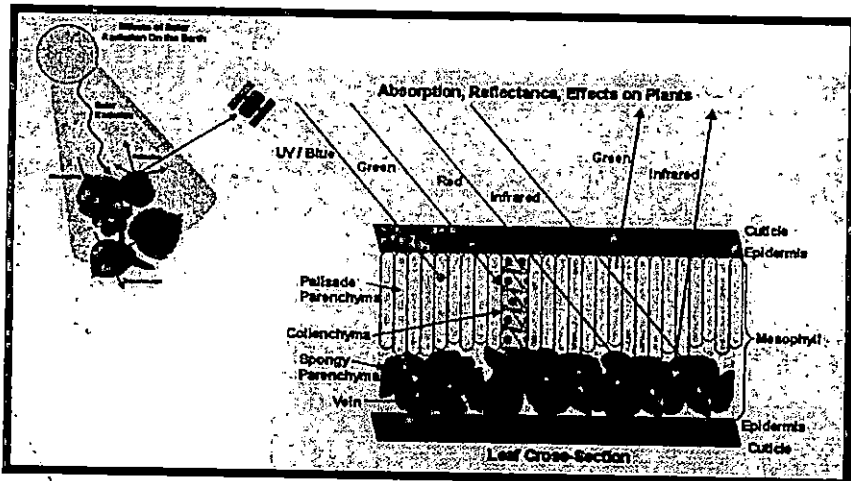
ومن دراسة التفاعل بين الأشعة وسلوكيات النباتات بعمليتي الامتصاص والانعكاس، تلاحظ أن أوراق النبات تمتص مادة الكلوروفيل وهي الإشعاع الكهرومغناطيسي الذي يقع في الأطوال الموجية بين (٤٣٠ .٦٥٠ .٤٥٠٠ .٤٠٠) ميكرون حيث يمتص النبات الأطوال الموجية التي تقع بين (٤٥٠ .٦٥٠٠ .٦٨٠ ميكرون) أي في نطاق الأشعة الزرقاء (Blue) والحراء (Red)، ولا تمتص النبات الأشعة تحت الحمراء القريبة والتي تقع فوق الأطوال الموجية بين (٧٥٠ - ٩٠٠ مليمتر)

لذلك فالنباتات السليمة تنخفض فيها نسبة الانعكاس الطيفي في الأطوال الموجية بين (٤٥٠ .٦٥٠٠ .٠ ميكرون) وهي الأشعة الحمراء، نظراً لامتصاص النبات لها، وتزداد فيها الأطوال الموجية في الأشعة تحت الحمراء القريبة التي تبين أن ازدهارها يعني نمو النباتات في تلك المنطقة وذلك لأن النبات لا يمتصها فتنعكس بكميات كبيرة في الفضاء، وبالتالي تسجلها الأقمار الصناعية في محساتها وأطيافها الخاصة بذلك.

يبلغ معامل الانعكاس أقصاه في أوراق النبات في المجال الطيفي القريب من الأشعة تحت الحمراء (٧٠٠-٦٠٠ ميكرون) وما فوقها، حيث أن حوالي ٦٠٪ من الأشعة تحت الحمراء التي لا يمتصها النبات تنشت في طبقات الجو العليا. وبما أن النباتات المصابة أو المتباينة أوراقها يزداد فيها انعكاسات الأطوال الموجية للأشعة الحمراء، فإنه إذا زادت نسبة الانعكاس الطيفي في الأشعة الحمراء (Red) في منطقة نباتية، دل ذلك على أن هذه النباتات تتعرض في ذلك الوقت للإصابة بالأمراض (وقت التقاط الصورة)، لقلة امتصاصها للأشعة الحمراء، حيث أن النبات يمتص الأشعة الحمراء ويترك الأشعة تحت الحمراء القريب، ومن هنا يمكن رصد أماكنها ومعالجة هذه الأمراض قبل انتشارها أو ظهورها لعين الإنسان المجردة.

ويتميز الغطاء النباتي السليم (الصحي) بانخفاض نسبة الانعكاس الطيفي في مجال الضوء الأحمر (Red) لامتصاص النبات أعلى نسبة منه لتمثل عملية البناء الضوئي، وترتفع نسبة انعكاس الأشعة القريبة من تحت الحمراء التي لا يمتصها النبات، وبالتالي ارتفاع قيمها في معادلة استخراج مؤشر اختلاف النبات المعياري NDVI، وتشير القيم القريبة من الصفر والقيم السالبة في نتائج تحليل المؤشر إلى انخفاض نسبة تغطية النبات وإلى المناطق غير المزروعة مثل الصخور الجرداة والتربة المكشوفة والماء والثلج والجليد، والغيوم.

فإذا زادت نسبة ظهور الأشعة الحمراء (Red) في قيم النطاق الطيفي للأشعة الحمراء في المرتبة الفضائية، دل ذلك على وجود نباتات مصابة في المنطقة المدروسة، لأنه من المفترض أن يمتص النبات السليم الأشعة الحمراء لعملية البناء الضوئي داخل أوراق النبات.



شكل (٢) نموذج يوضح قطاع في أوراق النبات وطبيعة التفاعل مع الأشعة بالامتصاص والانعكاس

يوضح شكل (٢) طبيعة التفاعل بين الأشعة الساقطة من الشمس وطبيعة امتصاص النبات لها، حيث تسقط الشمس أشعة من أنواع عديدة على النبات منها (UV, Red, Blue, Green, IR, NIR) حيث تتشتت الأشعة فوق البنفسجية في طبقات الجو العليا، ويقوم النبات بامتصاص الأشعة الحمراء ويعكس كل من الأشعة القرصية من تحت الحمراء ونطاق الأشعة في المجال الطيفي الأخضر (Green).

#### أـ خصائص الصور الفضائية المستخدمة:

تعتمد خصائص الصورة الفضائية في جودتها وأهميتها على مجموعة من العوامل والمكونات التي تختلف من قمر صناعي لآخر والتي تعد من مكونات التصوير الفضائي والتي هي في تطور مستمر، ومنها الدقة المكانية ، والطيفية، والزمنية ثم الدقة الشعاعية.

**تعد الدقة المكانية:** Spatial Resolution هي مقياس أصغر الظاهرات الأرضية التي يمكن أن تعرّض بالمستشعر عند لحظة معينة هي لحظة التقاط الصورة الفضائية، وهي تعتمد على مساحة الخلية (Pixel)، وهي واحدة من أهم العوامل التي تؤثر على جودة بيانات الاستشعار عن بعد، لأنها تحدد مستوى تفاصيل الظاهرات الموجودة بالصورة الفضائية، فمثلاً كانت الدقة المكانية في مركبات Landsat TM

٣٠ متراً ثم طورت في مركبات WorldView-2 إلى قرابة ٥٠٠ متر فقط، لذلك فهي مهمة جداً في عمليات استخراج مؤشر النبات بدقة.

**الدقة الطيفية Spectral Resolution:** هي عبارة عن الأطوال المحددة للطول الموجي في الطيف الكهرومغناطيسي الذي يمكن أن تسجله أجهزة الاستشعار، على سبيل المثال، المجال الضوئي الأول (Band-1) في صور القمر الصناعي Landsat من نوع (TM) يسجل الطاقة الأشعاعية التي تتحصر بين ٤٥٠٠ - ٥٢٠٠ ميكرون، وهكذا في باقي المجالات الضوئية (Bands) كما في جدول (١)

يختلف طول الأطيف وعددها من قمر صناعي آخر، ففي القمر الصناعي Landsat-8 بلغ عدد الأطيف (11 Bands) حيث يختلف كل طول موجي من نطاق طيفي لأخر، وذلك يؤدي إلى اختلاف وتعدد الظاهرات الأرضية التي يسجلها كل نطاق أو مجال ضوئي (Band). لذلك يمكن أن نعتبر الدقة الطيفية هي عبارة جزء محدد من الطيف المغناطيسي له طول موجي محدد (يطلق عليه اسم النطاق الطيفي أو المجال الطيفي) والتي تسجل بواسطة المستشعر أو الجزء الحساس للأشعة (Sensor) والتي منها (الأشعة تحت الحمراء IR، تحت الحمراء القريبة NIR، والأشعة تحت الحمراء الحرارية Thermal، التي تتعكس من سطح الأرض والأجسام الأرضية كالنباتات، لذلك فإن تعدد النطاقات الطيفية مهم جداً في اظهار أكبر قدر من الظاهرات الأرضية خاصة في تحليل مؤشر النبات.

**الدقة الإشعاعية Radiometric Resolution:** هي النطاق الديناميكي أو العدد الممكن تسجيله لملفات قيم البيانات في كل طول موجي، ويشار إلى هذا من قبل عدد البایت (bits) أي وحدات البيانات التي تقسم الطاقة المسجلة فعلى سبيل المثال البيانات المخزنة في (Bit-8) تتحصر قيمها التي تمثل البيانات بين ٠٠٥٠٠، لهذا فهي تقيد في عملية تمثيل البيانات ودرجة وضوح الصورة حيث أنه كلما زاد عدد Bits أدى ذلك إلى زيادة دقة وضوح الصورة، وتختلف الدقة الإشعاعية لعين الإنسان والتي تستطيع أن تميز الظلال التي تقع درجة لمعانها بين ١٦-٣٢ (B/w) بالألوان الأبيض، والأسود، والألوان المختلفة الأخرى حتى ١٠٠ لون تقريباً.

**جدول (١) مقارنة بين خصائص الدقة الطيفية لصور القراء الصناعي (Landsat-8, WorldView-2)**  
**والتي استخدمت في الدراسة**

WorldView-2	Landsat-8	الاستخدام	(nm) Wavelength	الطول الموجي	الطبق
يعتني على دقة عالية ٠٤٦ متر	-----	Pan (450-800)	----	Pan	١
مفيد في الدراسات الساحلية	يفيد في دراسة المياه الضحلة	Coastal Blue (450-400)	Coastal/Aerosol (0.435-0.451)	٢	١
مفيد في الدراسات البحرية	يفيد في دراسة المياه الضحلة والغطاء الأرضي	Blue (510-450)	Blue (0.452-0.512)	٣	٢
مفيد في تحديد النباتات السليمة عند مقارنته بالمنطقة الطبيعية في Band-(4)	يساعد على تسجيل وتمييز نسبة امتصاص الكلوروفيل في أنواع النباتات المختلفة، وتتنوع الظواهر	Green (580-510)	Green (0.533-0.590)	٤	٣
يكشف التغيرات الدقائق للنباتات الموجودة على الأرض أو داخل الماء	يفيد في تحديد أنواع النباتات، والكتلة الحيوية قوة المحتوى، وتحدد طبيعة المياه والتربة وتمييز الرطوبة	Yellow (625-585)	Red (0.636-0.673)	٥	٤
مفيد جداً في تمييز الغطاء النباتي واظهار خصائص التربة والظواهر الجيولوجية	يفيد في تحديد الغطاء النباتي ورطوبة التربة	Red (690-630)	NIR (0.851-0.879)	٦	٥
مفيد جداً في تقييم وقاس صحة النباتات وتصنفي الغطاء النباتي	يفيد في تحديد محتوى رطوبة التربة، والكشف عن المعادن	Red-Edge (705-745)	SWIR-1 (1.566-1.651)	٧	٦
يفصل بشكل فعال المياه عن المناطق النباتية كما يميز بين أنواع التربة	يفيد في تمييز أنواع المعادن والصخور، وبه خاصية تعين النباتات	NIR1 (770-895)	SWIR-2 (2.107-2.294)	٨	٧
يسهل عملية تحليل وتوضيح المؤشر النباتي	طيف دقة المكانية ١٠ متر يستخدم لزيادة دقة وضوح المرئية الفضائية	NIR2 (860-1040)	Pan (0.503-0.676)	٩	٨
-----	يختص بدراسة السحب والغيوم	---	Cirrus (1.363 - 1.384)	١٠	٩
-----	أطباف مفيدة في تأكيد تحليل النباتات والتربة وتمييز الرطوبة وتطبيقات الخانط الحراري	---	TIR-1 (10.60-11.19) TIR-2 (11.50-12.51)	١١	١٠

المصدر: عمل الطالب اعتماداً على مواصفات الأقمار الصناعية

على: <http://glcf.umd.edu/www.digitalglobe.com>

**الدقة الزمنية:** Temporal Resolution هي قدرة القمر الصناعي على تصوير ورصد سطح الأرض لنفس المكان خلال فترة زمنية قصيرة، وهي مهمة جداً بالنسبة لمراقبة الظاهرات الأرضية، فعلى سبيل المثال القمر الصناعي Landsat 7 يستطيع أن يصور نفس المنطقة بشكل متكرر مرة أخرى أثناء دورانه حول الأرض كل ١٦ يوماً، وكلما قصرت الفترة الزمنية التي يلتقط فيها القمر الصناعي ظاهرات الأرض، كلما دل ذلك على زيادة الدقة في إمكانية مراقبة الظاهرات الأرضية التي تحتاج إلى رصد مستمر كمراقبة السواحل وأبار النفط، والفيضانات والكوارث الطبيعية، ويتميز القمر الصناعي (World-View-2) بقدراته على تصوير نفس المكان على سطح الأرض كل ١.١ يوم.

### ثالثاً: توظيف معدلات استخراج مؤشر النبات

تعد تقنية الاستشعار عن بعد (Remote sensing) من التقنيات المتقدمة، والتي استخدمت في الكثير من المجالات منها مراقبة ورصد التغيرات البيئية في الأقاليم الجافة، وذلك من خلال قدراتها العالمية مما يتعلق بمراقبة التغير النباتي، باستخدام عدد من المعدلات المعروفة بمؤشر النبات (Vegetation Index) وفي هذه الدراسة استخدم الباحث مجموعة من المعدلات الحسابية للتعرف على انساب المعدلات التي يمكن أن تتماشى مع بيانات القمر الصناعي WorldView-2، لدراسة الغطاءات النباتية بدولة الكويت، كي تكون هذه الدراسة أول نموذج يحدد أفضل المعدلات الحسابية التي تطبق على البيئة النباتية لدولة الكويت عن طريق صور القمر الصناعي WorldView-2.

واستخدم في هذه الدراسة نوعان من المرئيات الفضائية الملقطة منها القمر الصناعي (Landsat-8)، إضافة إلى نوع جديد من الأقمار الصناعية الحديثة وما هو ما يعرف باسم (WorldView-2)، كما ورد في جدول (١) الذي يوضح بعض مواصفات صور الأقمار الصناعية التي استخدمت في الدراسة:

وقد تم تحليل بيانات الدراسة باستخدام برنامج Erdas 2011 لقياس قيم الانعكاس للنباتات واستخراج دليل المؤشر النباتي للمعدلات المختلفة مثل (NDVI,

(SAVI) حيث تم قياس قيم الانعكاس من الأطوال الموجية (7,5) في مركبات القمر WorldView-2، والأطوال الموجية (4,5) من الصور الفضائية للفضاء- Lanndsat- 8، كما تم الاعتماد على طريقة التفسير البصري Visual Interpretation في مقارنة وتفسير النتائج.

**A- معادلات حساب مؤشرات الغطاء النباتي:** (VI)

هناك العديد من المعادلات الحسابية التي منها يمكن حساب مؤشر الغطاء النباتي والتي منها معادلة النسبة البسيطة (SR) ومؤشر النبات (VI) ومؤشر اختلاف النبات المعياري (NDVI) والدليل النباتي المعدل للتربة (SAVI)، وتفيد هذه المعادلات في وصف التوزيع المكاني للنبات وتحديد حالته في منطقة الدراسة، إذ يظهر الغطاء النباتي الكثيف باللون الأبيض وفي المناطق ذات الغطاء النباتي القليل بانعكاسية أقل، وبالتالي يصبح اللون قاتماً وهكذا، ويمكن توضيح تلك المعادلات كالتالي:

**(١) النسبة البسيطة (SR) Simple Ration :**  
 وهي تمثل القيمة الناتجة من قسمة قيمة الانعكاسات الطيفية من الطول الموجي للأشعة تحت الحمراء (IR)، والطول الموجي للأشعة الحمراء (Red) أو الزرقاء (Blue)، حسب العلاقة التالية:

$$SR = \frac{\text{Band (IR)}}{\text{Band (Red or Blue)}} \quad Fraysse, (1980).$$

**(٢) المؤشر النباتي (VI) :**  
 يمثل الفرق بين قيمة الانعكاس الطيفي بين الطول الموجي للأشعة تحت الحمراء (IR) والطول الموجي للأشعة الحمراء (Red) أو من خلال حساب الفرق بين قيمة الانعكاس الطيفي بين الطول الموجي للأشعة تحت الحمراء القريبة (NIR) والطول الموجي للأشعة الحمراء (Red). حسب العلاقة التالية:

$$VI = \frac{\text{Band (IR)}}{\text{Band (Red)}} - Lillesand \& Kiefer (1987).$$

## (٣) مؤشر اختلاف النبات المعياري (NDVI):

هي إحدى المعادلات الحسابية لاستخراج المؤشر النباتي وهي اختصار لمصطلح (Normalized Differences Vegetation Index) المعالجات الرقمية للتحسين الطيفي والمفيدة في مراقبة النبات والتي تبني على أساس العلاقة بين الأشعة تحت الحمراء القريبة (NIR) والأشعة الحمراء المرئية (Red)، حيث أن انعكاسية النبات عالية في النطاق تحت الأحمر القريبة (NIR)، ومنخفضة في نطاق الأشعة الحمراء المرئية (Red). (Lusch, 1999, P.22).

وتمثل معادلة دليل الاختلاف النباتي النسبة بين الفرق بين الانعكاسات الطيفية عند الطول الموجي للأشعة تحت الحمراء (IR)، والطول الموجي للأشعة الحمراء (Red) على مجموعهما، كما توضحها المعادلة التالية:

$$\text{NDVI} = \frac{\text{Band (IR)} - \text{Band (Red)}}{\text{Band (IR)} + \text{Band (Red)}} \quad \text{Tucker (1980).}$$

## (٤) مؤشر النبات المعدل للتربة (SAVI):

إن ضبط التربة من خلال المؤشر النباتي Soil-Adjusted (SAVI) Vegetation Index، هي تقنية تتيح تحويل أقل نسبة إضاءة في خصائص التربة من خلال تحطيل المؤشر النباتي والإشعاع الطيفي للنبات في الأطوال الموجية (Bands) الأحمر (Red)، والقريب من الأشعة تحت الحمراء (NIR)، حيث قيم الطول الموجي تختلف من مجال طيفي لأخر وسينعكس هذا على الانعكاسات الإشعاعية التي تصدر عن النباتات سواء كانت نباتات سليمة أو مصابة.

ويمثل هذا الدليل الاختلاف النباتي مضاد إليه انعكاسية التربة، وهو يمثل النسبة بين الفرق بين الانعكاسات الطيفية عند الطول الموجي للأشعة تحت الحمراء القريبة (NIR)، والطول الموجي للأشعة الحمراء (Red) على مجموعهما مضروباً في (٠.٥ + ١) كما توضحه المعادلة التالية:

$$\text{SAVI} = \left[ \frac{\text{Band (NIR)} - \text{Band (Red)}}{\text{Band (NIR)} + \text{Band (Red)} + L} \right] (1 + L) \quad \text{Huete (1988)}$$

حيث  $L =$  يعرف بمعامل المعايرة Adjusted Factor ويعادل (0.5)، أو يمكن عرض المعادلة بهذا الشكل كما ورد في دليل الأقمار الصناعية التي تم الاعتماد عليها في الدراسة:

$$SAVI = [(1+L) * Band (NIR) - Band (Red)] / Band (NIR) + Band (Red) + L$$

$$SAVI = (1 + 0.5) * (band5 - band4) / (band5 + band4 + 0.5) \text{Landsat-8}$$

$$SAVI = (1 + 0.5) * (band7 - band5) / (band7 + band5 + 0.5) \text{WorldView-2}$$

#### (٥) دليل الغطاء النباتي المعدل لضبط التربة:- (MSAVI) adjusted vegetation index

هو معامل معدل لدليل الغطاء النباتي المعدل لضبط التربة (MSAVI) حيث يوضع في الاعتبار التربة ذات السطوح المكشوفة، ويمكن تطبيقها بالمعادلة التالية:-

$$(2*NIR + 1 - SQRT ((2*NIR + 1)^2 - 8 * (NIR - RED))) / 2$$

#### رابعاً: طريقة الدراسة:

استخدم في هذه الدراسة نوعان من المرئيات الفضائية هما (Landsat-8 لعام 2014) وقد تم الحصول على هذه المرئيات من الموقع الإلكتروني (www.nasa.org.com)، إضافة إلى المرئيات الفضائية الخاصة بالقمر الصناعي (WorldView-2) لعام 2012). بعد تجهيز وإعداد المرئيات الفضائية لمنطقة الدراسة، والانتهاء من عمليات المعالجة الرقمية للمرئيات باستخدام برنامج معالجة الصور الفضائية (ERDAS 2011)، تم القيام بزيارة ميدانية لمعظم أجزاء منطقة الدراسة لجمع المعلومات الحقلية، للوصول بأدق نتائج ممكنة من خلال تفسير المرئيات الفضائية المعدة في المدة السابقة، وتم تحديد الموقع التي تمت مشاهدتها حقوليا باستخدام جهاز تحديد الموقع العالمي GPS من نوع (Trimble) وبرنامج

وقد تم إجراء العديد من الخطوات الوصول لأفضل النتائج باستخدام العديد من الطرق بما فيها عمليات التفسير البصري للصور الفضائية كما استخدمت تقنية تكوين الصور المركبة الألوان: Band Selection for Color Composites، من دمج ثلاثة قنوات طيفية توزع على المجالات الثلاث (B-G-R) (Blue-Green-Red) لتبرز المعالم الأرضية بصورة ملونة، وهي ما تسمى بالألوان الزائف أو الكاذبة False Color Composite (FCC)، إذ يخصص اللون الأحمر للأشعة تحت الحمراء القريبة، واللون الأخضر يشير إلى الأشعة الحمراء، فيما يخصص اللون الأزرق للموجات الخضراء، ومثال ذلك ظهور النبات الطبيعي باللون الأحمر والماء باللون الأزرق، وهذا يعتمد على قدرة الانعكاس اللوني لإبراز الخصائص العامة للمعالم (Levin, 1999, p.104).

ويمكن عرض النباتات بلونها الأخضر باللون كاذبة، وذلك بعرضها في البرنامج على أساس ترتيب الأطيف كال التالي (4,5,2) للتركيب (Red, Green, Blue) في حالة مركبات Landsat-8، أما في حالة مركبات القمر الصناعي WorldView-2، فترتبت الموجات الطيفية (5, 7, 4) (Red, Green, Blue) حيث أعطت هذه الطريقة لتركيب النطافات تميزاً للغطاء الأرضي أفضل من بقية تركيبات الألوان الأخرى.

### نتائج الدراسة:

بتطبيق العديد من المعادلات الحسابية لتحليل واستخراج مؤشرات النباتات في محمية صباح الأحمد الطبيعية، ومقارنتها اتضح أن معادلة دليل الاختلاف النباتي (الغطاء) (Normalized Differences Vegetation Index)(NDVI) تعد أفضل معادلة لكشف تغير النبات في المنطقة، خاصة في المناطق الصحراوية بالتطبيق على محميات صباح الأحمد الطبيعية بدولة الكويت، حيث أظهرت المعادلة أفضل النتائج المرجوحة مقارنة بالمعادلات الأخرى، حيث أظهرت كل الغطاءات النباتية البرية والتي تقع في المناطق الرطبة أيضاً كمناطق الواقعة على خط الشاطئ بين اليابس و المياه الخليج شكل (٢).

اظهرت معادلة المؤشر النباتي (VI) Vegetation Index أعلى نتائج مؤشرات النباتات بتطبيقها على مرئيات (Landsat-8)، تلاهما معادلتها (MSAVI، SAVI). وبينت معادلة (NDVI) أقل نتائج عند تطبيقها على مرئيات (SAVI). جدول (٢) WorldView-2

جدول (٢) مساحة الغطاء النباتي بمحمية صباح الأحمد في عامي (٢٠١٤ - ٢٠١٢)

إجمالي مساحة الغطاء النباتي في كل معادلة (كم²)					المدة الزمنية	الدليل المستخدم
MSAVI	SAVI	VI	NDVI	SR		
٢٨.٤٦	٢٨.٨٧	٣٢.٢٢	٢٧.٣	٢٤.٩٤	Landsat-8 20-1-2014	
٢.٨١	٢.٢١	٤.١٩	١.٠٦	١.٥٨	WorldView-2 12-6-2012	

المصدر: عمل الباحث اعتماداً على بيانات الأقمار الصناعية المذكورة

يتضح من جدول (٢) مدى الاختلاف في قيم المؤشر النباتي الذي يظهر من معادلة لأخرى تطبيقاً على المرئية الفضائية المختلفة، حيث بتطبيق المعادلات على بيانات مرئيات كل من (Landsat-8، WorldView-2) ومقارنة نتائج المعادلات، ظهرت اختلافات وفروق كبيرة بين نتائج كل معادلة وقد يرجع ذلك إلى العديد من الأسباب التي يمكن تناولها فيما يلي:-

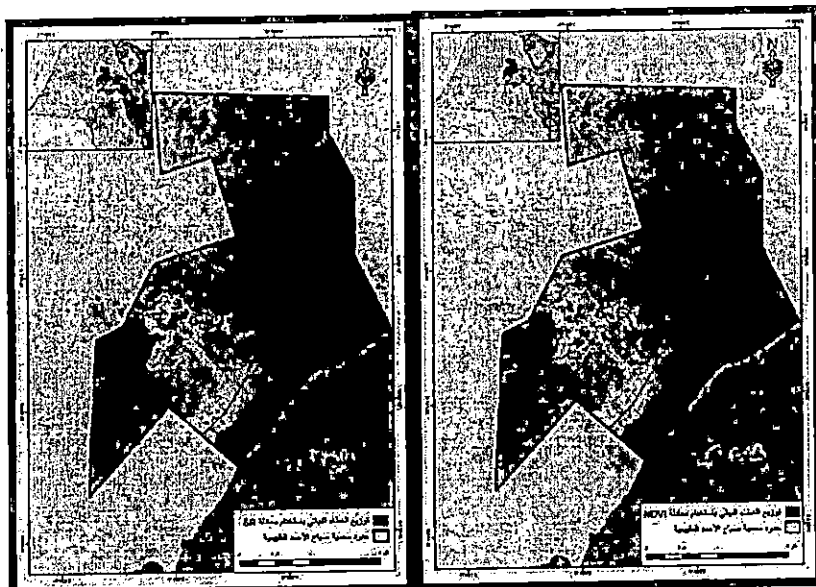
#### أ- تقييم دليل مؤشرات النباتات في مرئية Landsat-8 :

- ١- أظهرت مرئيات landsat-8 فيما هي أقل نتائج في المعادلات الحسابية خاصة معادلة النسبة البسيطة (SR) شكل (٣).

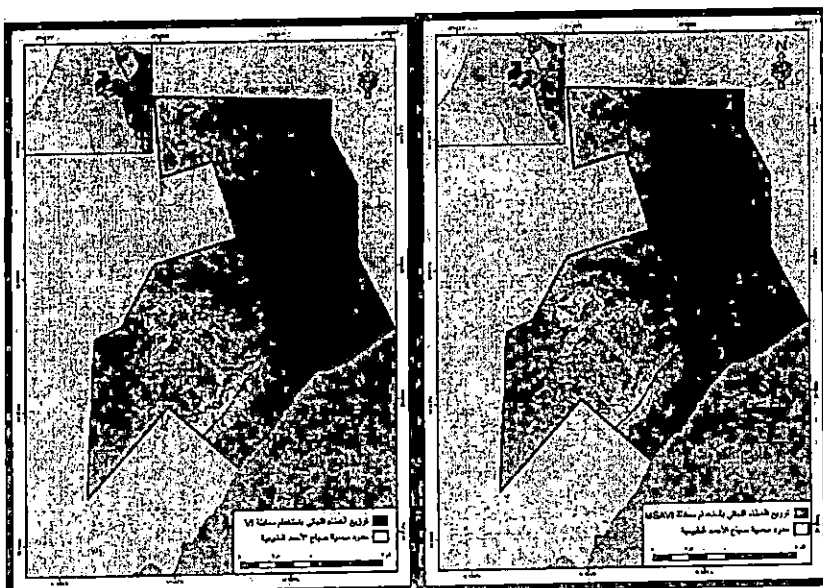
- ٢- بلغ دليل المؤشر النباتي أقصاه في البيانات المعالجة لمرئيات Landsat-8 بتطبيق معادلة الدليل النباتي (VI) شكل (٥).

- ٣- تركزت نتائج معادلة دليل المؤشر النباتي (VI) في بيانات مرئيات Landsat-8 على الجانب المنحدر من جال الزور بمحمية صباح الأحمد الطبيعية، والذي يطل على خليج الكويت بما يدل على أهمية هذه المعادلة في حساب الغطاء النباتي في المناطق المنحدرة وبطون الأودية الجافة.

**٤- ظهر معادلتي (MSAVI، SAVI) نتائج متقاربة لدليل المؤشر النباتي في محمية صباح الأحمد الطبيعية**



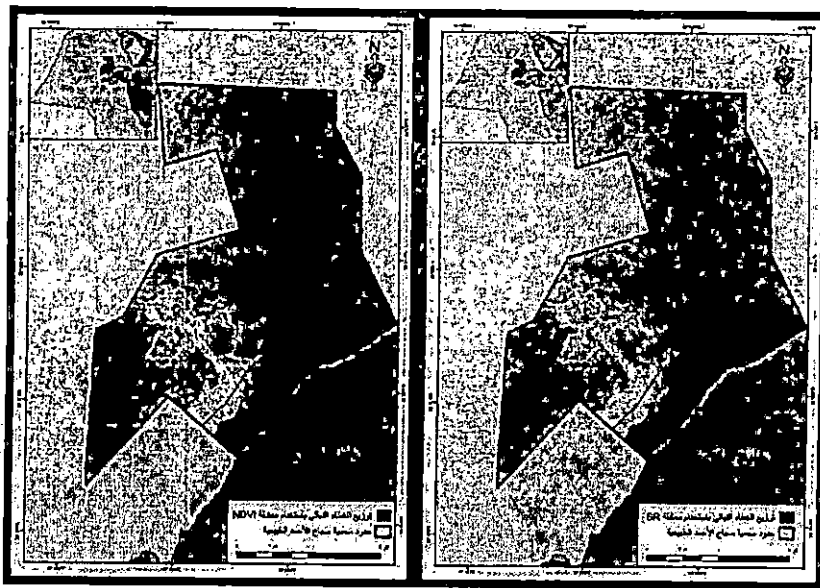
شكل (٣،٤) دليل معادلتي (SR, NDVI) في مرنیات 8



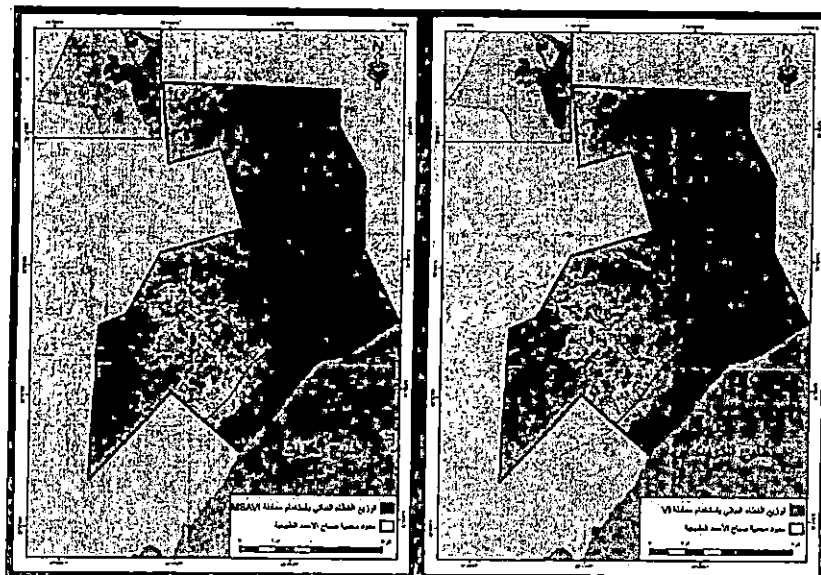
شكل (٥) دليل معادلتي (MSAVI, VI) في مرنیات 8

## بـ- تقييم دليل مؤشرات النباتات في مرنیات 2 WorldView

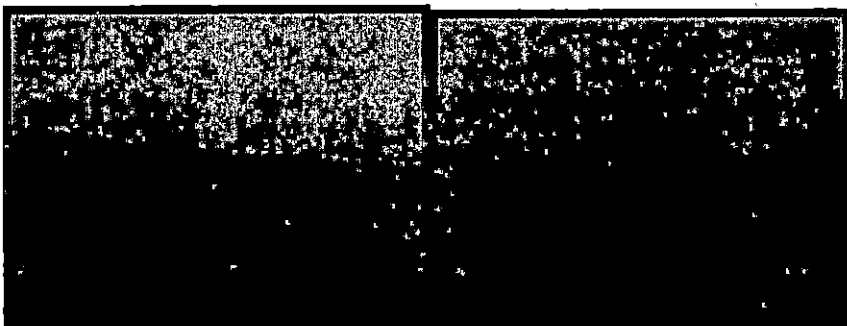
- ١- تعد معادلة (NDVI) والتي بنيت على حساب الفرق بين قيم الانعكاس الطيفي بين الطول الموجي للأشعة القريبة تحت الحمراء (NIR) والطول الموجي للأشعة الحمراء (Red) مقسوماً على مجموعهما، هي أقل المعادلات في تحديد مؤشرات النباتات حيث تتجاهل مواضع الغطاء النباتي قليل الكثافة وتظهر بوضوح الغطاء النباتي للنباتات الكثيفة. شكل (٨)
- ٢- أظهرت معادلة (VI) أعلى نتائج للمؤشر النباتي في مرنیات (WorldView-2) بمقدار ٤.١٩ كم ٢، والتي يتم فيها حساب الفرق بين الانعكاس الطيفي للأشعة القريبة تحت الحمراء (NIR) من الأشعة الحمراء (Red) شكل (٩)
- ٣- بلغ إجمالي مساحة الغطاء النباتي في معادلة (SAVI) حوالي ٢.٢١ كم ٢ في حين بلغ إجماليه في معادلة (MSAVI) ٢.٨١ كم ٢.
- ٤- يمكن أن تستخدم معادلتي(SR, NDVI) لإظهار المناطق الشجرية، واستخدام معادلة (VI) لرصد الغطاء النباتي للنباتات المنتشرة على طول المنحدرات وبطون الأودية.
- ٥- كما يتضح من تحليل المرنیات الفضائية لعامي (٢٠١٤، ٢٠١٢) ازدهار الغطاء النباتي بالمحمية في مرنیات عام ٢٠١٤ والتي التقطت في موسم الشتاء والذي تساقط به الأمطار على دولة الكويت.
- ٦- تبين من دراسة التغير في النبات الطبيعي كأحد الملامح الجغرافية الطبيعية بمنطقة الدراسة انه في تزايد مستمر حيث بلغت مساحة الغطاء النباتي عام ٢٠٠٠ لمرنیات 7 Landsat، حوالي ١٥.٩ كم ٢، وفي مرنیات ٢٠١٤ لـLandsat-8 بلغت ٣٢.٢٢ كم ٢، بزيادة تقدر بـ ١٦.٣٢ كم ٢ في مدة قدرها ١٤ عاماً، أي بما يعادل ١.٢ كم ٢/عام. باستخدام معادلة (VI)



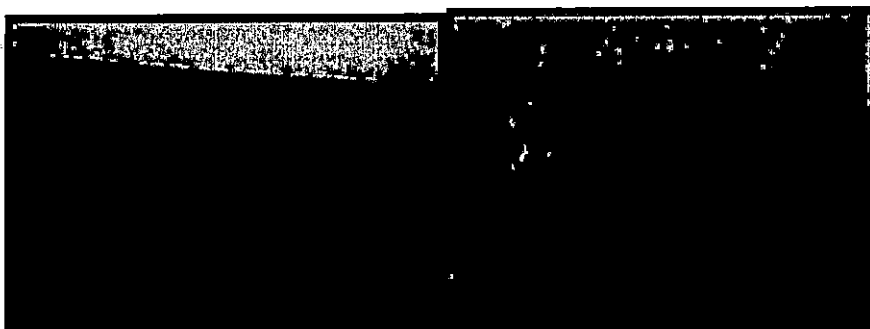
شكل (٧، ٨) توزيع الغطاء النباتي بتطبيق معادلتي (NDVI, SR) على مرنىات WorldView-2



شكل (٩، ١٠) توزيع الغطاء النباتي بتطبيق معادلتي (MSAVI , VI) على مرنىات WorldView-2



صورة (١، ٢) التنوع النباتي في محمية صباح الأحمد



صورة (٤) النباتات الصناعية التي  
تظهر في شكل تجمع خضري مزدهر في  
نتائج تحليل المرئية الفضائية

صورة (٣) مشكلة الزحف الرملي  
على النباتات الطبيعية بالمحمية

**الخلاصة:**

- أسفرت الدراسة عن جملة من الاستنتاجات والتوصيات يمكن إيجازها فيما يلي:
- ⇨ تؤكد الدراسة الحالية أهمية تكامل تقنيات المعالجة الرقمية المختلفة للمرننيات الفضائية كأساس مهم في مراقبة الظواهر البيئية كالغطاء النباتي في منطقة الدراسة، إذ كانت أداة فاعلة وسريعة في الحصول على أفضل النتائج بأقل الأوقات وارخص التكاليف واختزال الجهد.
  - ⇨ إن استخدام وسائل وتقنيات الاستشعار عن بعد قد وفرت الكثير من الجهد والوقت والكلفة في تحديد وتوزيع مواضع النباتات الطبيعية في محمية صباح الأحمد الطبيعية، حيث اعطت طريقة التفسير البصري والآلي نتائجاً جيدة في تحديد وتمييز موقع النباتات وأماكن انتشارها، حيث ظهر النبات بكثافة في بطون الأودية، كما ساعدت هذه التقنيات على تصنيف موقع النباتات الطبيعية حسب كثافتها النباتية، حيث تظهر في تدرجات لونية.
  - ⇨ أثبتت المرننيات المنتجة بتقنية دليل الغطاء النباتي كفاءتها وسهولة تفسيرها في تمييز كثافة وانتشار الغطاء النباتي في المنطقة.
  - ⇨ أشارت نتائج الدراسة إلى أن معادلة (NDVI) هي أفضل المعادلات الحسابية التي يمكن أن تستخدم في حساب المؤشر النباتي بدولة الكويت في المناطق الصحراوية.
- كما تقدم الدراسة بعض التوصيات:**
- يمكن بتطبيق منهجية الدراسة الحالية على أي دراسة تتم بدولة الكويت تختص بالكشف عن حالة الغطاء النباتي، وذلك باستخدام أفضل المعادلات التي أظهرت أدق دليل للمؤشر النباتي وهي معادلة (NDVI).
  - يوصى الباحث الاعتماد على مرننيات القرى الصناعي WorldView-2 في الدراسات التي تختص بدراسة الغطاء النباتي في حالة الاعتماد على المرننيات من الأقمار الصناعية الحديثة وذلك نظراً لوجود أكثر من مجال طيفي لرصد الحمراء وتحت الحمراء (Yellow, Red, Red-Edge) وذلك للأطيفات (4, 5, 6) (NIR1, NIR2) للأطيفات (7, 8) على التوالي، والأشعة القريبة من تحت الحمراء على التوالي، كما أنها تعطي نتائج أقرب إلى الواقع.

## المراجع:

- ١- التركمانى، جودة فتحى (٢٠٠٩): جغرافية الأرضي الجافة والتصحر، الطبعة الثانية، دار الثقافة العربية، القاهرة.
- ٢- عمر، سميرة أحمد السيد وأخرون، (٢٠٠٨): محمية صباح الأحمد الطبيعية، الخصائص الطبيعية والموارد البيئية، معهد الكويت للأبحاث العلمية.
- ٣- Frantzova, A. (2010).remote sensing, GIS and disaster management, 3rd INTERNATIONAL CONFERENCE ON CARTOGRAPHY AND GIS, 15-20 June, 2010, Nessebar, Bulgaria. P.2
- ٤- Huete, A. R. (1988). A soil adjusted Vegetation index (SAVI). Remote sensing of Environment. Vol. (25), No. 3, PP: 295–310.
- ٥- ١٠- Leven, N, fundamentals of Remote Sensing, 1999.
- ٦- EL- Baz, F., (1984). Desert and Arid Lands the Hauge, Netherlands, Martins Nuhoff publishers: 261 P.
- ٧- EL-HAG, M. M. (1989). Study of desertification based on Landsat imagery (North-Kordofan, Sudan), Ph. D. Thesis, state University of Ghent, Belgium: 194 P.
- ٨- Epiphanio, J. C., J. M. Gleriani, and B. F. Rudoroff (1996). Vegetation indices for remote sensing of beans (*phaseolus valgansi*). Pesquisa Agropecuaria Barasileira, 31 (6): PP. 445–454.
- ٩- Fraysse, G. (1980). Remote sensing application in agriculture and Hydrology. A. A. Balkema: Rotterdam. PP: 11–24.
- ١٠-Jensen, P. L, and A. R. Huete. (2001). Assessment of spectral vegetation indices for riparian vegetation in the Colorado River delta. Mexico, J. of Arid Environment, 49(1) PP: 91–110.
- ١١-Lillesand, T. M. and R. W. Kiefer. (1987). Remote sensing and image interpretation. 2nded. John wiley and sons co. New York. P.721
- ١٢-Lo, C. P. (1987). Applied Remote sensing. 2nd ed. Longman Scientific and Technical. Inc., New York, 392 P.
- ١٣-Lusch , D, P, and Hudson, W,D , Introduction to Environmental Remote Sensing, Center For Remote Sensing and GIS, Michigan State University.1999.

- 14-Penuelas, J., and A. Araus. (1997). Visible and near infrared reflectance assessment of salinity effected on Barley. Crop science, (USA). Vol. 371(1) PP: 198–202.
- 15-Shallal, J. K. (1992). Application of remote sensing instudy of desertification and soil degradation. Ph. D. Thesis. University of Brno, Czechoslovakia.
- 16-Shrestha, D. P. and J. A. Zink (2001). Land use classification in mountainous area: integration of image processing, digital elevation date and field knowledge an application in Nepal. ITC. Enschedes. Netherlands, PP: 1–14.
- 17-Tucker, C. J. (1980). Spectral method for determining the percentage green Herbage material glipped samples. Remote sensing of Environment, Vol. (9) No.2, PP:175–181.

موقع الانترنت:

1. [http://www.eumetrain.org/data/3/36/print.htm#page 3.2.1](http://www.eumetrain.org/data/3/36/print.htm#page_3.2.1)
2. [www.nasa.org.com](http://www.nasa.org.com)
3. <http://glovis.usgs.gov/>
4. <http://www.digitalglobe.com/>
5. <http://gis1.baladia.gov.kw/>
6. <http://sgis.kisr.edu.kw/>